

OSCILACIONES

MAS

$$F = -kx$$

$$\frac{d^2x}{dt^2} = -\frac{k}{m}x$$

$$x = A \sin(\omega t + \phi)$$

cond. iniciales

$$\omega^2 = \frac{k}{m}$$

$$U = \frac{1}{2}kx^2 + \frac{1}{2}m\omega^2 = \frac{1}{2}kA^2$$

Etot. punto referencia

Péndulo simple: $s = L\phi$

$$\frac{d^2\phi}{dt^2} = -\frac{g}{L}\phi \quad \omega^2 = \frac{g}{L}$$

$$\phi = \phi_0 \cos(\omega t + \delta) \quad T = 2\pi \sqrt{\frac{L}{g}}$$

Péndulo físico

$$\tau = \frac{dL}{dt} \quad L = I\omega$$

$$\frac{d^2\phi}{dt^2} = -\frac{MgD}{I}\phi$$

$$\tau = -MgD \sin\phi \quad I\alpha = I \frac{d^2\phi}{dt^2}$$

Amplitud:

$$T = T_0 \left[1 + \frac{1}{2} \frac{\sin^2 \phi}{\phi^2} + \dots \right]$$

$$F = -kE = -\frac{dU}{dx}$$

$$U = A + B(x - x_0)^2$$

Péndulo de torsión

$$\frac{d^2\phi}{dt^2} = -\frac{k}{I}\phi$$

modulo de torsión

$$\tau = -k\phi = I\alpha$$

MASA

$$F_v = -bv$$

$$\frac{d^2x}{dt^2} + \frac{b}{m} \frac{dx}{dt} + \frac{k}{m}x = 0$$

$$\lambda = \frac{1}{2\tau} \rightarrow \text{cte. estructura } (1/e) \text{ (energía)!}$$

$$x = A_0 e^{-\lambda t} \sin(\dots)$$

$$\lambda = \frac{b}{2m}$$

$$\omega^2 = \omega_0^2 - \lambda^2$$



$$u = \frac{\Sigma}{T} \text{ amplitud}$$

$$Q = \frac{2\pi}{\frac{\Delta E}{E}|_{\omega_0}} \approx \omega_0 \cdot \frac{m}{b}$$

MASF

$$F_{ext} = F_0 \cos \omega t$$

$$\frac{d^2x}{dt^2} + \frac{b}{m} \frac{dx}{dt} + \omega_0^2 x = \frac{F_0}{m} \cos \omega t$$

(solución estacionaria)

$$A = \frac{F_0}{\sqrt{m^2(\omega_0^2 - \omega^2)^2 + b^2\omega^2}}$$

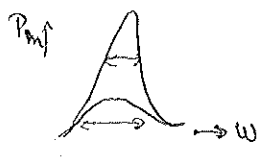
$$x = A \cos(\omega t - \delta)$$

de la F. ext

$$\tan \delta = \frac{b\omega}{m(\omega_0^2 - \omega^2)}$$

ya no des

Resonancia $\approx \omega_0$



estrechos cuanto menor amortiguado

$$\frac{\Delta\omega}{\omega_0} = \frac{1}{Q}$$

$$(\Delta\omega = 2\sigma/m)$$

CIRCUITOS LRC

resistencia \rightarrow pérdida
 condensador \rightarrow almacén
 bobinas \rightarrow almacén inercial
resistencia

$\hat{=}$ oscil. mecánico amortiguado

RC (Q)

Descarga: I $\frac{Q}{C} - IR = 0 \Rightarrow Q(t) = Q_0 \cdot e^{-\frac{t}{RC}}$ $Z = RC$

$\frac{dQ}{dt}$ \rightarrow $\frac{I_0}{I_0}$ \rightarrow $\frac{I_0}{I_0}$

Carga: I $\frac{Q}{C} - IR - \frac{Q}{C} = 0 \Rightarrow Q(t) = C \cdot \mathcal{E}_0 (1 - e^{-\frac{t}{RC}})$ \rightarrow una vez cargado: circuito abierto

$W_{\text{con}} = \frac{1}{2} C \mathcal{E}_0^2 = E_{\text{dis}} \text{ (mitad-mitad)}$ $\eta_{\text{cc}} = \frac{1}{2} \mathcal{E}_0^2$

Corriente variable; ω y autoinducción (wb)

$\mathcal{E}_s = - \frac{d\Phi_m}{dt} = -L \frac{dI}{dt}$ FEM ind. $L = \frac{\Phi_m}{I} = \mu_0 n^2 A l$

Inductancia mutua: $M_{21} = \frac{\Phi_{m2}}{I_1}$
 $\Phi_{m1} = L_1 I_1 + M_{21} I_2 \Leftrightarrow =$

RL (I)

$\mathcal{E}_0 - IR - L \frac{dI}{dt} = 0 \Rightarrow I(t) = \frac{\mathcal{E}_0}{R} (1 - e^{-\frac{t}{\tau}}) = I_f (1 - e^{-t/\tau})$ $\tau = L/R$

$W_{\text{bob}} = \frac{1}{2} L I_f^2$ $\eta_m = \frac{1}{2} \frac{B^2}{\mu_0}$

una vez I_f , inductor almacena E no se acedia

$\eta_t = \eta_m \eta_{el}$

LC (sin g)

$L \frac{d^2Q}{dt^2} + \frac{Q}{C} = 0 \Leftrightarrow m \frac{d^2x}{dt^2} + kx = 0 \rightarrow \omega = \frac{1}{\sqrt{LC}}$

$Q = Q_0 \cdot \cos(\omega t + \delta)$ (no disipa!) \rightarrow estacionario armónico bob \Leftrightarrow cond

LCR (sin g)

$L \frac{d^2Q}{dt^2} + \frac{Q}{C} + IR = 0 \xrightarrow{\text{man.}} Q = Q_0 \cdot e^{-\alpha t} \cos(\omega' t + \delta)$ $\alpha = \frac{R}{2L}$

$\omega'^2 = \frac{1}{LC} - \frac{R^2}{4L^2} = \omega_0^2 - \alpha^2$

$E = \mathcal{E}_0 \cdot e^{-t/\tau}$

$I L \frac{dI}{dt} + I \frac{Q}{C} + I^2 R = P_{\text{inst. sistema}}$

$P = \frac{dW}{dt} = \frac{Q}{C} \frac{dQ}{dt}$

$W_e = \frac{1}{2} \frac{Q_0^2}{C} \cos^2(\omega t + \phi)$ $W_m = \frac{1}{2} 2L\omega^2 Q_0^2 \sin^2(\omega t + \phi)$ $W_t = \frac{1}{2} Q_0^2 / C$

$\omega' \rightarrow$ mov. crítico amortiguado

C. ALTERNA Y LRC

$$\phi = N \cdot B \cdot A \cos \theta, \quad \theta = \omega t - \delta$$

$$\mathcal{E}_i = \underbrace{NBA\omega}_{\mathcal{E}_{max}} \sin(\omega t - \delta)$$

$$\mathcal{E}_{s1} = - \frac{d\phi}{dt} \quad \mathcal{E}_{s2} = - M \frac{dI_1}{dt} \quad \frac{\mathcal{E}_{s2}}{\mathcal{E}_{s1}} = \frac{M}{L} = \frac{N_2}{N_1}$$

$$L = \mu_0 n_1^2 A l$$

$$M = \mu_0 n_1 n_2 A l$$

Pot. se conserva \rightarrow

$$\frac{I_1}{I_2} = \frac{\mathcal{E}_{s2}}{\mathcal{E}_{s1}} = \frac{N_2}{N_1}$$

Circuito resistivo:

$$I = \frac{\mathcal{E}_{max} \cos \omega t}{R} \quad (\text{en fase})$$

$$P_{inst} = I^2 R = I_{max}^2 \cdot \cos^2(\omega t)$$

$$L_0 P_{med} = \frac{1}{2} I_{max}^2 R$$

$$I_{ef} = \frac{1}{\sqrt{2}} I_{max} = I_{med}$$

$$\rightarrow \mathcal{E}_{ef} \cdot I_{ef} = \frac{\mathcal{E}_{ef}^2}{R} = I_{ef}^2 R$$

$$\mathcal{E}_{ef} = \frac{1}{\sqrt{2}} \mathcal{E}_{max} = \mathcal{E}_{med}$$

Con Condensador

$$Q = C \mathcal{E}_{max} \cos(\omega t)$$

$$I = -\omega C \mathcal{E}_{max} \sin(\omega t) \quad (\text{tensión retraso } \pi/2)$$

$$I_{max} \Leftrightarrow X_c = \frac{1}{\omega C} \quad \text{Reactancia capacitiva}$$

$$I_{max} = \frac{\mathcal{E}_{max}}{X_c} \Rightarrow I_{ef} = \frac{\mathcal{E}_{ef}}{X_c}$$

$$\propto \frac{1}{\omega C}$$

no dej^a pasar corriente!

$$\propto \frac{1}{\omega}$$

sigue al generador
duplica y no consume

Con autoinducción

$$V_L = \mathcal{E}_{max} \cos(\omega t) \quad dI = \frac{\mathcal{E}_{max} \cos \omega t}{L} dt$$

$$L_0 I = \frac{\mathcal{E}_{max}}{\omega L} \sin \omega t = I_{max} \sin \omega t \quad \rightarrow \text{desfase de } \pi/2 \text{ respecto al voltaje}$$

$$I_{max} = \frac{\mathcal{E}_{max}}{\omega L} \Leftrightarrow X_L = \omega L \Leftrightarrow I_{m} = \frac{\mathcal{E}_m}{X_L} \Leftrightarrow I_{ef} = \frac{\mathcal{E}_e}{X_L}$$

no consume energía

Reactancia inductiva

$X_L \propto \omega$
(se opone a cambios)



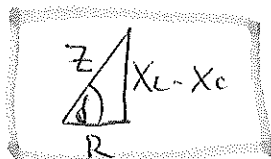
$$L \frac{d^2 Q}{dt^2} + R \frac{dQ}{dt} + \frac{Q}{C} = E_{max} \cos(\omega t) \quad \omega_0 = 1/\sqrt{LC} \quad \text{oscilador armónico forzado}$$

$$m \frac{d^2 x}{dt^2} + b \frac{dx}{dt} + m\omega_0^2 x = F_0 \cos(\omega t) \quad \omega_0 = \sqrt{k/m} \quad \text{resonancia } \omega!$$

$$Q = Q_{max} \sin(\omega t - \phi) \quad I = I_{max} \cos(\omega t - \phi)$$

$$Q_{max} = \dots$$

$$I_{max} = \frac{E_{max}}{Z}$$



tg phi

sol. estac.
no depende de
cond. inic.
Q_0, delta omega, caract.
fisicas!

R disipa
L actúa sobre I
C " " Q

Impedancia \leftrightarrow R equivalente en continua
multiplica amplitud
se retrasa phi sobre la fur

$$Z(\omega, E)$$

inductancia: si opone a cambios, sin efecto en estacion
W -> 0

Resonancia

$$Z_{min} \rightarrow X_L = X_C \rightarrow \omega = \omega_0 \text{ (un poco menor) en la amplitud}$$



R pequeña -> Q grande -> curva aguda

$$\omega = \omega_0 \sqrt{1 - (R/2C)^2}$$

capacitancia: no dejan pasar si es este, sin efectos a grande W
1/cw

F = un caso

$$R: V_R = IR = Q_0 \omega \cos(\omega t - \phi) \text{ en fase}$$

$$C: V_C = Q_0/C \sin(\omega t - \phi) \quad V \pi/2 \text{ tarde}$$

$$L: V_L = -L Q_0 \omega^2 \sin(\omega t - \phi) \quad V \pi/2 \text{ tarde}$$

f.c.c.w $\frac{dQ}{dt}$ so quita
 $\frac{dI}{dt} < 0$ da

Potencia

$$P = I^2 R \rightarrow \langle P \rangle = \frac{1}{2} E_{max}^2 \frac{R}{Z^2}$$

W -> W_0 -> Potencia max (aquí sí) a la energía almacenada

$$Q = \frac{2\pi E}{\Delta E} = \omega_0 \frac{L}{R}$$

$$\langle P \rangle = E_{eff} I_{eff} \cdot \cos \phi \rightarrow \text{factor de potencia}$$

$$\frac{\Delta \omega}{\omega_0} = \frac{1}{Q} \rightarrow \text{en res, } Z = R$$

	LCR	OAF
Vd	Q	X
Cof Vd	1/C	k
Cof I	R	b
Cof II	L	m
Fuente	$E_{max} \cos \omega t$	$F_0 \cos \omega t$
W_0	$\sqrt{1/LC}$	$\sqrt{k/m}$

$$g = \sqrt{kx^2}$$

823
1034

MOVIMIENTO ONDULATORIO

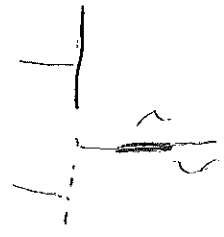
- viajeras \rightarrow 1, 2, 3 D
- estacionarias

transporte E y p en el espacio sin transporte de materia
 \rightarrow en ondas materiales mediante perturbación medio no p. elást.

se propaga el estado dinámico

- materiales \rightarrow medio elástico
- electromagnéticas \rightarrow vacío
- transversales \rightarrow propaga \perp vibra
- longitudinales \parallel

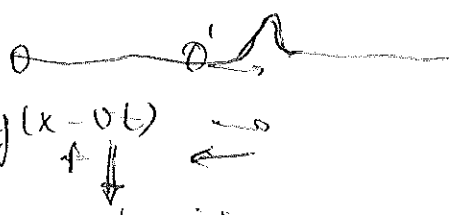
pulso, velocidad de propagación (grupo)
 m. dispersivo si varía su forma
 reflexión - transmisión cuando varían propiedades



función de ondas

x, t v_p

$$y(x, t) = y'(x - vt) = y(x - vt)$$



$$y = A \cdot e^{-k(x-vt)}$$

onda viajera, propaga perturbación

v_p sólo depende del medio, no de fuente, c. inv.

acuerda $\rightarrow v = \sqrt{\frac{E}{\mu}}$ \rightarrow densidad lineal

sonido $\rightarrow v = \sqrt{\frac{B}{\rho}} = \sqrt{\frac{\gamma RT}{M}}$

$$\frac{\partial^2 y}{\partial x^2} = \frac{1}{v^2} \frac{\partial^2 y}{\partial t^2} \rightarrow$$

Eqn general de ondas en forma diferencial

$y(x, t)$ no sinusoidal \rightarrow onda armónica

características se repiten entre otros \rightarrow longitud de onda λ
 \rightarrow periodos T

$$v = \lambda f$$

no limitada en t ni x .

$$y(x, t) = A \sin\left[\frac{2\pi}{\lambda} x - \frac{2\pi}{T} t\right] = A \sin[k(x - vt)]$$

amplitud oscilas \rightarrow $k = \frac{2\pi}{\lambda} \rightarrow$ n.º de ondas $k_0 = \omega$

$$E_t = \frac{1}{2} \rho A^2 \omega^2 \Delta x \quad k = m\omega^2 \quad \Delta x = \mu \Delta x$$

margin
fuerza - trabajo

$$E = \int \frac{1}{2} \mu \omega^2 A^2 dx$$

$$P = \frac{1}{2} \mu \omega^2 A^2 v \propto A^2, \omega^2, v \quad (\text{general})$$

↙ $P \propto \frac{1}{v} \rightarrow A \propto \frac{1}{\sqrt{v}}$

transmisión:
 $P_{en} = P_{sal}$

↗ $\text{sup: } \frac{1}{v^2} \rightarrow A \propto \frac{1}{v} \quad (\text{atenua})$

Frentes de ondas: puntos a la misma altura
 $\lambda \rightarrow$ distancia entre crestas contiguas (agua)
 sonido \rightarrow superficies esféricas concéntricas

Rayos: dirección propagada, siempre perpendicular al frente de ondas

Onda plana: rayos paralelos a gran distancia focal

\rightarrow Intensidad $I \equiv P / \text{unidad de área} \quad (\perp)$

$$I = P_m / A \quad W/m^2$$

3D $\rightarrow I = \frac{P}{4\pi r^2}$ (ley atenua) esféricas superficiales

$$\Delta E = \eta \Delta v \Delta t \quad P_m = \eta A v$$

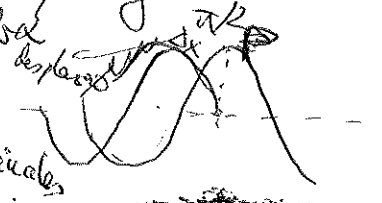
P se conserva, I no $\frac{P}{4\pi r^2}$?

densidad de energía $I = \eta v$

Resumen
~~...~~
~~...~~
~~...~~
 Tip.

ONDAS SONORAS

Zonas de alta y baja presión, choques propaguen
 compresión + raras recimientos → desplazamiento organizado alrededor de punto
 densidad elevada → baja
 no hay movimiento neto sino variación de la densidad respecto al equilibrio
 colisión moléculas excitadas transmiten la perturbación → se propaga y origina onda sonora
 Lo ⇒ transmisión p, E



Ondas de presión en un medio sólido, longitudinales

$$s(x,t) = s_0 \cdot \sin(kx - \omega t) \rightarrow \text{varia } \rho, P$$

$$P(x,t) = P_0 \cdot \sin(kx - \omega t - \pi/2)$$

$$P_0 = \rho v \omega s_0 \quad E = \frac{1}{2} m \omega^2 \Delta r^2 \quad \Delta E = \frac{1}{2} \rho v \omega^2 s_0^2 \Delta V$$

$$I = \frac{1}{2} \rho v \omega^2 s_0^2 = \frac{1}{2} \rho v P_0^2$$

$$I \propto P_0^2 \quad (\text{y } v \propto \sqrt{P_0})$$

$$v = \sqrt{\frac{B}{\rho}} = \sqrt{\frac{\gamma P}{\rho}} = \sqrt{\frac{\gamma R T}{M}}$$

sonido se propaga + rápido en s, l y en g → $\rho \rightarrow P \rightarrow B$

nivel de intensidad

$$\beta = 10 \log \frac{I}{I_0} \text{ dB}$$

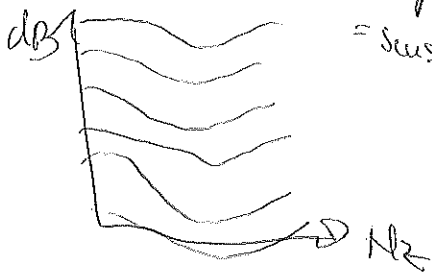
seguir son. no es lineal con la intensidad

$$3 \cdot 10^{-5} \text{ Pa} \leftrightarrow 30 \text{ Pa} \leftrightarrow 10^5 \text{ Pa}$$

$$10^{-12} \text{ W/m}^2 \leftrightarrow 1 \text{ W/m}^2$$

$$0 \text{ dB} \leftrightarrow 120 \text{ dB}$$

curvas sensación sonora, fono



no igual sensible a todas ν
 + sensibilidad entre 1000 y 20000 Hz

Efecto Doppler

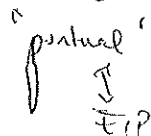
propiedad del medio!
 $v \neq v(\Delta) \neq v(u_{rel})$

$$f' = f_0 \left(\frac{1 \pm \frac{u_{rec}}{v}}{1 \pm \frac{u_{em}}{v}} \right)$$

→ receptor
→ fuente

acercarse (+)
 alejarse (-)

$P \rightarrow$ toda la E posible en foco
 o esfera
 → se mantiene en todo el frente
 $I \rightarrow$ se distribuye en el espacio
 → cada vez <



ONDAS ELECTROMAGNÉTICAS

6

$$\oint_S \vec{E} \cdot d\vec{s} = \frac{Q_{enc}}{\epsilon_0} \quad \left| \quad \oint_C \vec{E} \cdot d\vec{l} = -\frac{d}{dt} \Phi_{mag} = -\frac{d}{dt} \int_S \vec{B} \cdot d\vec{s}$$

$$\oint_S \vec{B} \cdot d\vec{s} = 0 \quad \left| \quad \oint_C \vec{B} \cdot d\vec{l} = \mu_0 I + \mu_0 \epsilon_0 \frac{d}{dt} \int_S \vec{E} \cdot d\vec{s}$$

Simetría en el vacío \rightarrow no es necesario un medio material

- OEM \rightarrow campos acoplados, en fase
- \rightarrow origen en cargas aceleradas
- \rightarrow ondas transversales $\vec{E} \cdot \vec{B} = 0 \quad \vec{z} = \vec{E} \times \vec{B} = \vec{k}$



944
949
1088

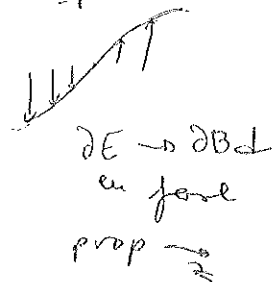
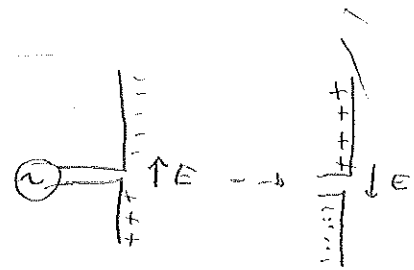
$$\rightarrow \frac{\partial^2 E_x}{\partial z^2} = \mu_0 \epsilon_0 \frac{\partial^2 E_x}{\partial t^2} \quad \Delta = \nabla^2$$

$$c = \frac{1}{\sqrt{\mu_0 \epsilon_0}}$$

$$\rightarrow E = c \cdot B$$

Equación de ondas

- radio \rightarrow antena dipolar
- i. rojo \rightarrow cargas aceleradas (choques, calor)
- luz \rightarrow transiciones atómicas



Energía transporte E, p

$$\vec{I} = \eta_m \cdot c \quad u = u_m + u_e = \frac{1}{2} \left(\frac{B^2}{\mu_0} + \epsilon_0 E^2 \right) \Rightarrow \vec{u} = c \vec{B} \Rightarrow u_m = u_e$$

$$= \frac{1}{2} \frac{B^2}{\mu_0} = \frac{E \cdot B}{\mu_0 c}$$

$$\vec{I} = \frac{\vec{E} \cdot \vec{B}}{\mu_0} = \frac{1}{2} \frac{\epsilon_0 \cdot B_0}{\mu_0} = I \vec{s}$$

$$I(\theta) \propto \frac{\sin^2 \theta}{R^2}$$

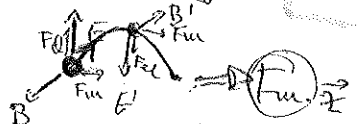
Vector de Poynting:

$$\vec{s} = \frac{\vec{E} \times \vec{B}}{\mu_0}$$

(proy. \perp a la intensidad)

Momento

$$\frac{dp}{dV} = \frac{S}{c^2}$$



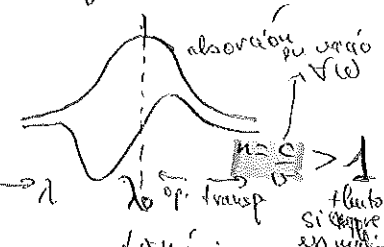
\hat{z} dipolo mag. \rightarrow emite OEM indep. de las causas

$$p = \frac{F}{A} = \frac{1}{A} \frac{dp}{dt} = \frac{S}{c} \equiv \text{Presión de radia}$$

max transportado \times Area y tiempo

Índice de refracción

Interactúa al entrar en medio, $< v <$ efecto, tardan f
fenóm. resonancia
 \rightarrow medio transparente si no hay (sólo baja v)
opaco si hay, se absorbe la luz



- (a) homogéneo
- (b) isotrópico
- (c) dispersivo

UV \rightarrow aive cristal
entramarzo
cristalino absorbe lo no visible

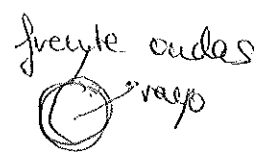
radio \rightarrow dipolo oscilante $> \lambda$
 \rightarrow puede ser

donde cambia según material
fluctúa si depende en medio
diferencia de fase
opacidad

REFLEXIÓN, REFRACCIÓN Y DISPERSIÓN



obstáculos \rightarrow difracción
 sen " \rightarrow reflexión, refracción



T_1 de Huygens \rightarrow ondas luminosas, foco puntual, suma de ellos (envolvente) es la onda total

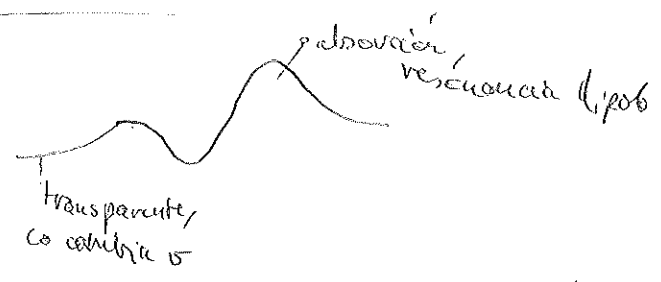
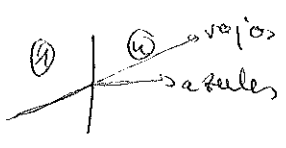
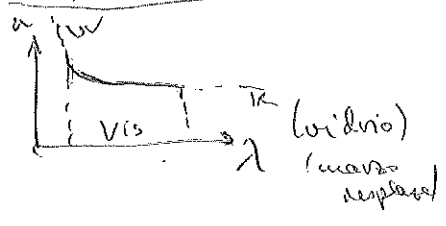
\rightarrow frente ondas
 progresa como si ondas esféricas elementales envolvente en Δt nuevo frente de ondas

2 medios dieléctricos transparentes \rightarrow parte refleja u refracta

Lejes de Snell

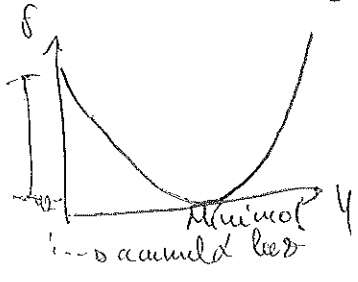
- \bullet k_{inc} , k_{refl} , normal, k_{refr} son coplanarios (plano incidente)
- \bullet $n_1 \sin \theta_1 = n_2 \sin \theta_2$
- reflexión total \rightarrow ángulo crítico

Dispersión cromática

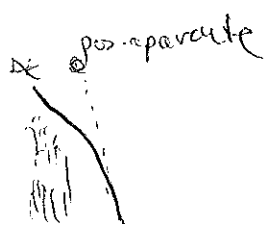


$n \propto \lambda$ (dispersión normal)

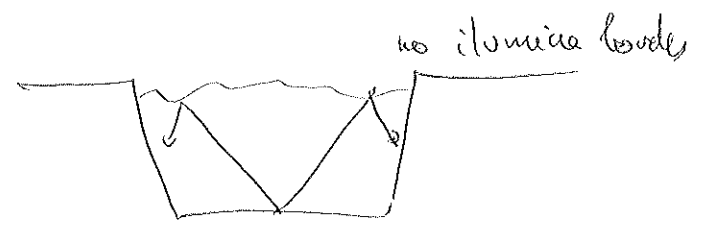
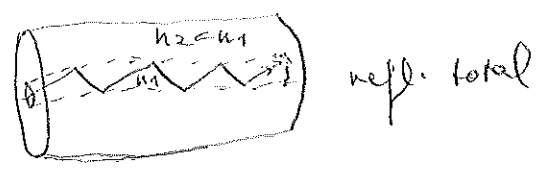
Arcoiris \rightarrow 42°



logo...



aire f₀ / k_{refl} \rightarrow espejismo



POLARIZACIÓN

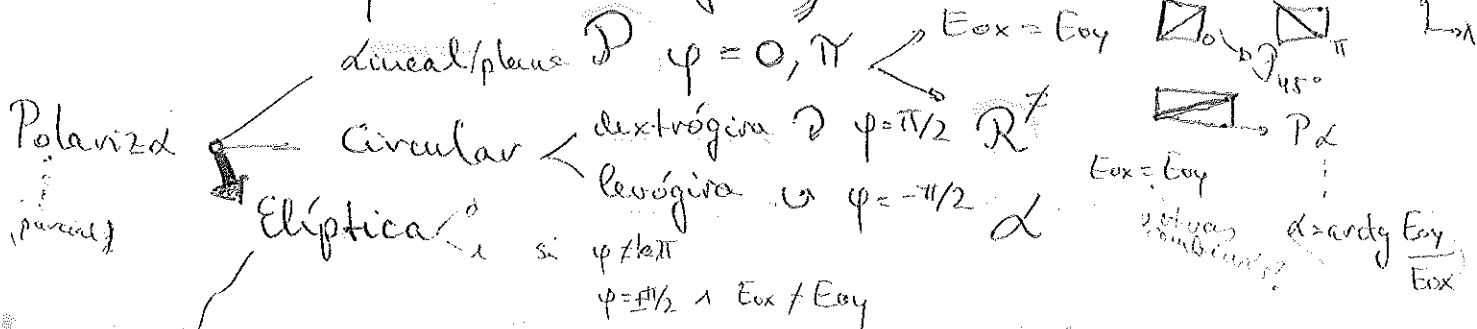
$$\nabla^2 \vec{E} - \frac{1}{v^2} \frac{\partial^2 E}{\partial t^2} = 0$$

onda armónica $\vec{E}(z,t) = \vec{E}_0 \cos(kx - \omega t + \phi)$ $k = \frac{\omega}{v} = \frac{c}{v} \cdot \frac{\omega}{c} = nk_0$
 $\omega = 2\pi f$

$B \perp$ uoimporte
 $\vec{E} \cdot \vec{B} = 0$
 en fase
 $\perp z$
 $\vec{E} = c \cdot \vec{B}$

$$\vec{E} = \vec{E}_x + \vec{E}_y \quad E_y = E_{0y} \cos(kx - \omega t + \phi_{xy})$$

↳ Plano de polarización ($\perp z$)



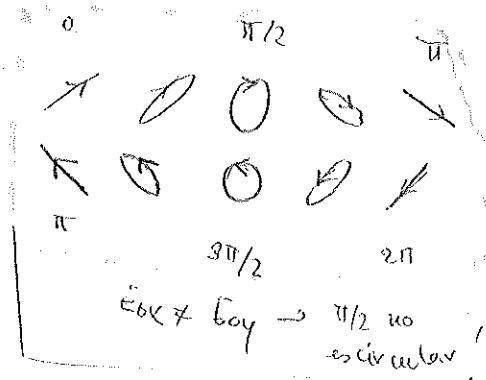
$$\left(\frac{E_x}{E_{0x}}\right)^2 + \left(\frac{E_y}{E_{0y}}\right)^2 - \frac{2 E_x E_y}{E_{0x} E_{0y}} \cos \phi = \sin^2 \phi$$

Luz natural:

$$E_y = E_0 \cos(\omega t + \phi_0(t))$$

aleatoria
breves pulsos

microscopios
(t), aleati



Grado de polarización

$$V = \frac{I_p}{I_p + I_{np}}$$

0 \rightarrow luz parcial polarizada
 1 \rightarrow luz total

polarizar con:
 dispersión
 reflexión
 refracción
 difusión

Dicroísmo: (absorber + ó - luz dependiente de estado de polarización)

\longleftrightarrow absorbe un eje, permite el perpendicular $\rightarrow \mathcal{P}_\alpha$

$$N \rightarrow P_{90^\circ} \quad I_0 \rightarrow \frac{I_0}{2}$$

$$P_\alpha \rightarrow P_\beta$$

↳ polarizador lineal (total)
 i. polarizoides
 sub. gólgos

no difiere sino respecto al otro

Ley de Malus

$$I_f = I_0 \cdot \cos^2(\alpha - \beta)$$

... Luz parcial polarizada (elip. + compuestas)

Reflexión y refracción

cantidad \mathcal{E}_0 f ($\mathcal{P}, n, \mathcal{P}_r$) $T_{\perp \parallel} R_{\perp \parallel} \rightarrow$ p. no invid. E.

luz natural reflejada \rightarrow parcial polarizada

polarizadores: dicroicos verticales
 \mathcal{P}_0 - otros 0, natural $\cdot 1/2$

\rightarrow total para \mathcal{P}_i \rightarrow refl \perp refl.

Ángulo de Brewster

$$\tan \theta_B = \frac{n_2}{n_1}$$

luz reflejada lineal polarizada (total) \perp plano incid. transmitida parcial

si luz polarizada \mathcal{P} inc \rightarrow refl = 0
 si luz polarizada \mathcal{P} inc \rightarrow refl polarizado total

INTERFERENCIAS

$\omega_2 \rightarrow I \propto A^2$, promedios $T \rightarrow$

Principio de superposición

$\psi = \psi_1 + \psi_2$ Suma algebraica ondas

$E = E_{10} \cos(\omega_1 t + \phi_1) + E_{20} \cos(\omega_2 t + \phi_2)$

$I = E_{10}^2 \cos^2(\omega_1 t + \phi_1) + E_{20}^2 \cos^2(\omega_2 t + \phi_2) + 2E_{10}E_{20} \cos(\omega_1 t + \phi_1) \cos(\omega_2 t + \phi_2)$

$\langle I \rangle = \frac{E_{10}^2}{2} + \frac{E_{20}^2}{2} + E_{10}E_{20} \cos(\phi_1 - \phi_2) + 0$

$I = I_1 + I_2 + 2\sqrt{I_1 I_2} \cos \Delta\phi$

$I = \frac{E^2}{2}$

$V = \frac{I_M - I_m}{I_M + I_m}$ $0 \leq V \leq 1$ $I_1 = I_2 = V$

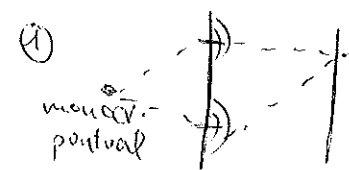
$\Delta\phi = 0 \rightarrow \pi$

polari-
saber
interfer

Condiciones de interferencia

- $E_1 = E_2$ (muy polarizad)
- $\omega_1 \approx \omega_2$ (frecu)
- $E_1 \approx E_2$ (amplitud)
- $\Delta\phi$ cte(t) \rightarrow coherencia

Interferencia por división



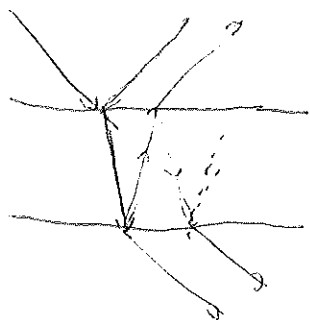
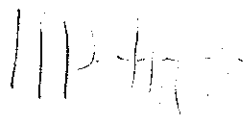
$\Delta\phi \approx k \frac{2ax}{D}$

$x_{max} = \frac{m \lambda D}{2a}$

$x_{min} = (m + \frac{1}{2}) \frac{\lambda D}{2a}$

m = orden de interferencia

saber desamb



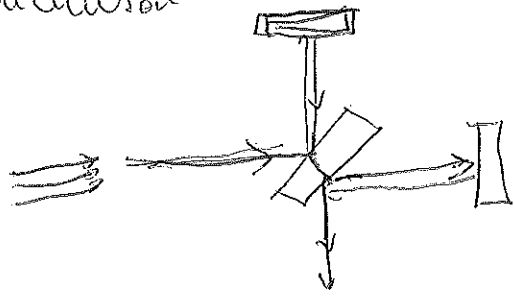
$\Delta\phi = \frac{2\pi}{\lambda_0} 2e(n - \frac{e^2}{n})$

π destr.
 2π constr.

2. \rightarrow saltos de fase en π radianes al reflejarse
máximo x transmisión \rightarrow mínimo reflexión
(conservar energía)

Interferómetros

Michelson



→ patrón de interferencias según el camino óptico

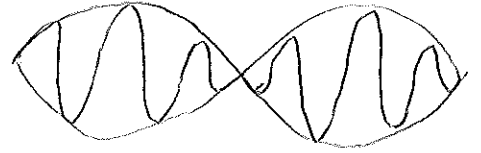
$$\Delta\phi = k_0 (u_1 l_1 - u_2 l_2)$$

Pulsaciones (batidos)

ω_0 próximas

$$P = 2P_0 \underbrace{\cos\left(\frac{\omega_1 - \omega_2}{2} t\right)}_{\text{envolvente}} \underbrace{\sin\left(\frac{\omega_1 + \omega_2}{2} t\right)}_{\text{portadora}}$$

→ Amplitudenmodulation
→ Sinusschwingung



Ondas estacionarias

ondas confinadas en el espacio → frecuencias discretas

$L = n \cdot \frac{\lambda}{2}$... armónicos

$L = (2n+1) \frac{\lambda}{4}$ → sólo impares extr. abierto ampl. máxima

$y = A \sin(kx - \omega t)$
 $y = A \sin(kx + \omega t)$ → $y = 2A \cos(\omega t) \sin(kx)$ $x=0, L \rightarrow 0$

$y = \sum_{n=1}^{\infty} y_n \rightarrow$ armónicos (análisis de Fourier)

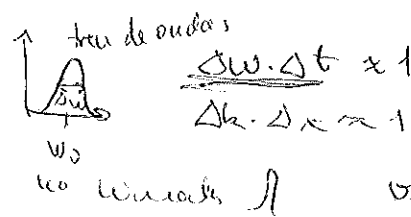
↳ Timbre instrumentos

Paquetes de onda

pequeños ↔ señal porta info → localizados en t, x , inicio-final

$\xi(x,t) = \xi_0 \cdot e^{-\frac{(x-\omega t)^2}{2\sigma^2}}$... anchura (d_{FWHM})

↳ transformada de Fourier
 ↳ armón.



↳ medio dispersivo si $v(\omega)$
 atrás se retrasan, delante se adelantan

v grupo → paquete
 v fase → la de cada armónico
 dttt!

DIFRACCIÓN

Fresnel (area, cambia)
 Fraunhofer (lejos, =)

P. de Huygens, interferencia ondículas

encontrar obstáculos \rightarrow difracción

\int puntual $f(\theta)$
 \rightarrow estrella $I \sim \sin^2 \theta$

$$\sin \theta = \frac{\lambda}{a}$$

$$a \sin \theta = m \lambda \rightarrow \text{Máximos}$$

$$L_y = \frac{L \lambda}{a}$$

$$I(P, L) = I_0 \text{senc}^2 \left(\frac{\pi a y_p}{\lambda L} \right)$$

\leftarrow rendija unid. \rightarrow $\frac{1}{4}$

$$(\pi a x_p) \dots (\pi b y_p) \leftarrow \text{rend. vect.}$$

$$\sin \theta = 1,22 \frac{\lambda}{D} \quad \leftarrow \text{apertura circular}$$

distorsión melgosa apertura circular

Criterio Rayleigh: $\approx 1,22 \frac{\lambda}{D} \sin \theta$

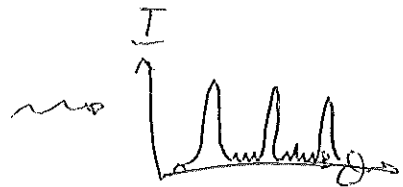
Red de difracción

$$I_{\text{max}} = N^2 I_0 \quad + \text{agudeza}$$

$$d \sin \theta = m \lambda \rightarrow \text{Máximo}$$

Ley de Bragg

$$2d \sin \theta = m \lambda$$



GEOMETRICA



ESPEJO PLANO

Im. virtual
 $E \rightarrow 2t \rightarrow I \rightarrow 2t$
 $\alpha \rightarrow 2\alpha$
 $R\alpha \rightarrow -\alpha$



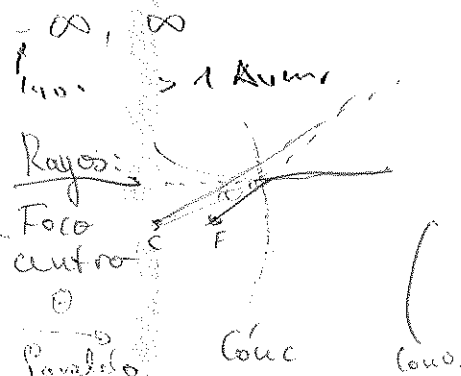
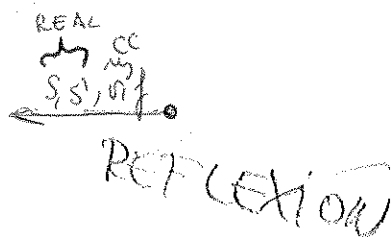
Inversión
 en profundidad
 derecha \rightarrow izquierda

$B = \text{Ampl} = \frac{y'}{y} = -\frac{s'}{s}$

ESPEJO ESFÉRICO

$$\frac{1}{s} + \frac{1}{s'} = \frac{2}{r} = \frac{1}{f}$$

Foco $f = \frac{r}{2}$



DIOPTRIO ESFÉRICO PARAXIAL

$$\frac{n}{s} + \frac{n'}{s'} = \frac{n' - n}{r}$$



Refracción

Foco objeto F ($s \rightarrow \infty$)
 Foco imagen F' ($s' \rightarrow \infty$)

AL: $\beta' = -\frac{n}{n'} \frac{s'}{s}$

$$\frac{n}{s} + \frac{n'}{s'} = \frac{n'}{f'} = \frac{n}{f}$$

DIOPTRIO PLANO

$$n's = -ns'$$

Constructor lentes: $\frac{1}{f} = (n-1) \left(\frac{1}{r_1} - \frac{1}{r_2} \right)$

LENTES DELGADAS

$$\frac{1}{s} + \frac{1}{s'} = \frac{1}{f} = \frac{n_2 - n_1}{n_1} \left(\frac{1}{r_1} - \frac{1}{r_2} \right)$$

2 pasos

$\beta' = \frac{n_1 s'}{n_2 s}$

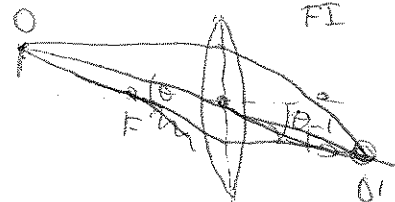
ΔDE

$f_1' = \frac{n_2}{n_2 - n_1} r_1$ $f_2' = \frac{n_1}{n_1 - n_2} r_2$

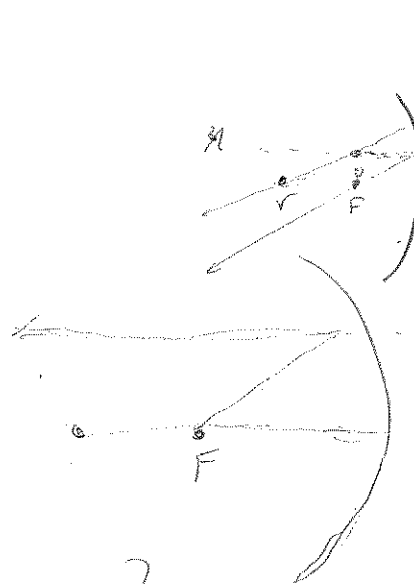
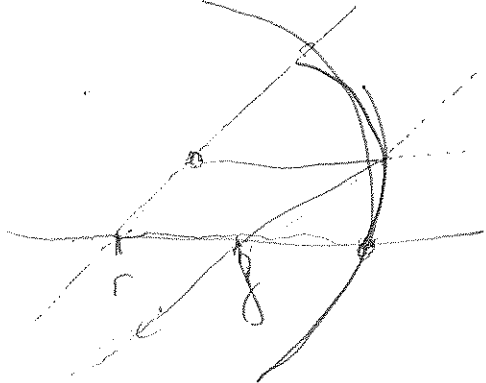
Raysos:
FO
FI

Potencia = $\frac{1}{f} \rightarrow \frac{1}{m} = \text{dioptrías } f \text{ en m} \rightarrow \text{Pot (refrac.)}$

> 0 (real) \equiv convergentes
 < 0 (virt) \equiv divergentes



3 casos

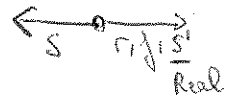


3 tipos

$$\frac{1}{s'} + \frac{1}{s} = \frac{2}{r} = \frac{1}{f}$$

Dioptrio

$$\frac{n}{s} + \frac{n'}{s'} = \frac{n' - n}{r}$$



2 tipos $F_0 = F$
 $F_I = F'$

Dioptrio esférico

$$\frac{n}{s} + \frac{n'}{s'} = \frac{n' - n}{r}$$

$$\frac{n}{s} + \frac{n'}{s} = \frac{n - n'}{r}$$

d. plano ($r = \infty$)
 $n s' = -n s$

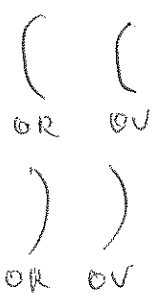
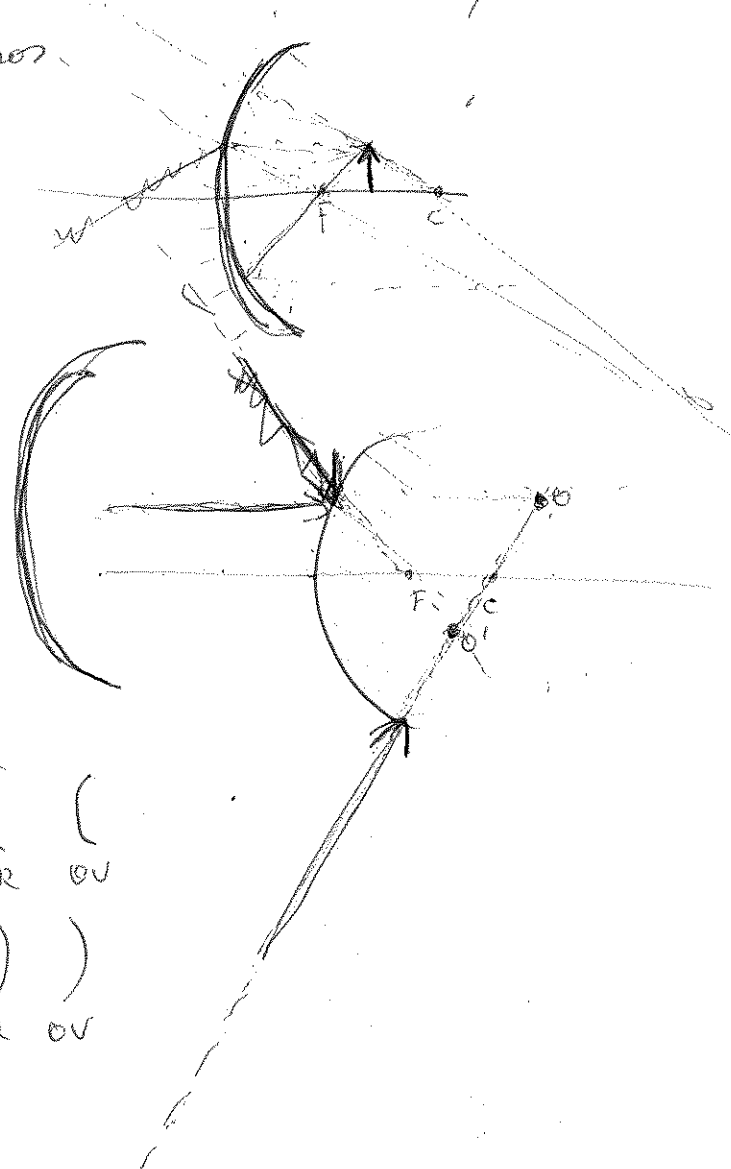
lente delgada

$$\frac{n_1}{s} + \frac{n_2}{s'} = \frac{n_2}{f_2} + \frac{n_1}{f_1}$$

$$\frac{1}{s'} + \frac{1}{s} = \frac{1}{f}$$

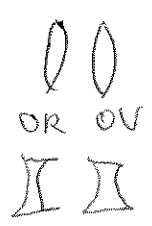
$$= \frac{n_2 - n_1}{n_1} \left(\frac{1}{r_1} - \frac{1}{r_2} \right)$$

3 casos



incidência obj. real s, f_0
transmissão im. real $s', f_0/r$

Aumentado



RELATIVIDAD ESPECIAL I

Galileo: sist. de referencia en mov. uniforme indistinguibles

→ leyes de Newton \equiv en cualquier sistema de refer. inercial
 $\vec{a} = \vec{a}'$ no exp. local

$$\begin{cases} x' = x - u_x(t-t_0) \\ y' = y - u_y(t-t_0) \\ z' = z - u_z(t-t_0) \\ t' = t \end{cases}$$

$$\vec{v} = \vec{v}' + \vec{u}$$

Composición de velocidades clásica

Electromagnetismo:

$$E' = \vec{E} - u \times \vec{B} \quad B' = \vec{B} \rightarrow \text{campos magnéticos y eléctricos "comunicantes"}$$

Michelson-Morley 1887

$$t_0 = \frac{2L}{c} \quad t_1 = \frac{2L}{c} \cdot \frac{1}{\left(1 - \frac{u^2}{c^2}\right)^{1/2}} \quad \frac{c}{ct_0} - \frac{c}{ct_1}$$

$$\Delta t = \frac{1}{c} \left[\frac{1}{\left(1 - \frac{u^2}{c^2}\right)^{1/2}} - 1 \right] = \frac{L}{c} \frac{u^2}{c^2}$$

Principios de relatividad de Einstein:

- 1) Leyes de la física son las mismas en todo s. ref. inercial
- 2) Velocidad de la luz es c en todos ellos.

⇒ 1) Concepto de simultaneidad es relativo al s. r.

2) Dilatación del tiempo (relojes en movimiento)

3) Contracción de longitudes (reglas en movimiento se contraen)

4) No hay " " " " en dirección \perp al movimiento
(Argumento Taylor & Wheeler)

1) $t \neq t'$

2) $\Delta t' s' = \Delta t s$

$\Delta t s' = \gamma \Delta t' s'$

$\Delta t' s = \gamma \Delta t s$

3)

$$\vec{L}' = \vec{L} \gamma$$

simetría observadores

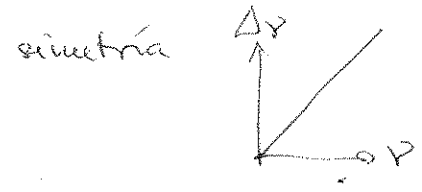
Se ve una cosa en un s. y la otra en el otro s.

RELATIVIDAD ESPECIAL II

ondas se propagan independiente del movimiento fuente/observador
 $v_s = v \cdot \lambda$

Efecto Doppler relativista

$$\gamma' = \gamma \sqrt{\frac{1 + u/c}{1 - u/c}} \quad (\text{cercas relativo})$$



Ley de Hubble

$$D = \frac{u}{H} \rightarrow \text{expansión universo}$$

base teoría Big Bang

→ Corrimiento hacia el rojo

Transformaciones de Lorentz

$$\Delta t = \gamma (\Delta t' + \frac{u}{c^2} \Delta x')$$

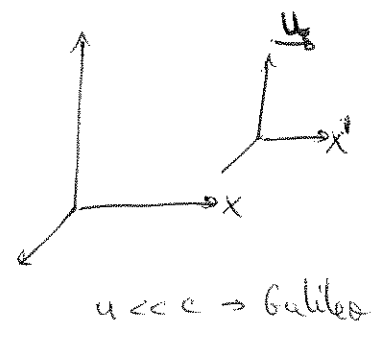
$$\Delta x = \gamma (\Delta x' + u \Delta t')$$

$$\Delta y = \Delta y'$$

$$\Delta z = \Delta z'$$

$$\Leftrightarrow \Delta t' = \gamma (\Delta t - \frac{u}{c^2} \Delta x)$$

$$\Delta x' = \gamma (\Delta x - u \Delta t)$$



⊛ $\Delta x^2 - c^2 (\Delta t)^2$ invariante

◁ Tiempo propio: 2 sucesos en un punto espacio (mínimo)
 Longitud propia: l en s.ref. en reposo (l. máxima)

Ley de transformación de velocidades:

$$v_x = \frac{v_x' + u}{1 + \frac{u}{c^2} v_x'}$$

$$v_y = \frac{v_y'}{1 + \frac{u}{c^2} v_x'}$$

→ $u \ll c \rightarrow \text{Galileo}$
 → $v \ll c \rightarrow c$
 → $v_x \leq c$!

Dinámica relativista

⊛ S. aisl. → $\sum p = \text{cte}$, en s.ref. in → homogeneidad espacio
 invarianza leyes bajo traslación
 → $\vec{p} = m \cdot \gamma_0 \cdot \vec{v}$ mov relativista
 $\gamma_0 = \frac{1}{\sqrt{1 - \frac{v^2}{c^2}}}$ v. objetivo
 $(\Delta x, \Delta t) \rightarrow \text{cuadrivector}$
 $\gamma_0 = \gamma_0' \gamma_0' (1 + \frac{u v_x'}{c^2})$

Energía relativista:

$$E = \gamma_0 m c^2 = \underbrace{m c^2}_{E_0} + \underbrace{\frac{1}{2} m v^2}_{E_{clásica}} + \dots$$

$$E^2 = p^2 c^2 + m^2 c^4$$

⊛

$$\vec{F} = \frac{d\vec{p}}{dt} = \frac{d}{dt} (\gamma_0 m \vec{v})$$

⊛ $E^2 - p^2 c^2$ invariante



$$\vec{p} = \frac{E}{c} \hat{v}$$

$$E_{tot} \leq 1$$

RELATIVIDAD GENERAL

Generaliza leyes gravedad a s.ref. en aceleración lineal cte. rotación (ω cte)

$$m \cdot a' = \vec{F} - m\vec{a}$$

↳ Fuerza inercial/ficticia: aceleras independientes de la masa

1.000 años ωc si $\omega > m$ αE_m

$$\begin{pmatrix} x \\ y \end{pmatrix} = R \alpha \begin{pmatrix} x' \\ y' \end{pmatrix} \quad \vec{\omega} \neq \vec{\omega}' \quad \vec{\omega} = \vec{\omega}' = \vec{\omega} \wedge \vec{x}$$

$$F_{in} = \underbrace{-2m\vec{\omega} \wedge \vec{v}'}_{\text{F. Coriolis}} - \underbrace{m\vec{\omega} \wedge (\vec{\omega} \wedge \vec{x})}_{\text{F. centríf.}}$$

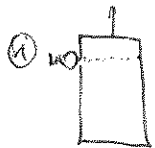
virtual.

Principio de equivalencia: 1907 Einstein

Es imposible distinguir mediante experimento local entre s.ref. no inerc. y uno inercial en un campo gravitatorio
+ R-Esp \leftrightarrow R-Gen.

- 1. Desvía de la luz campo gravitatorio
- 2. Corriente hacia el rojo gravitacional
- 3. Dilatación del tiempo (en campos gravitatorios)

$$F_{grav} = -\frac{GMm_g}{r^2} = m_i \cdot a \quad \rightarrow \underline{m_g = m_i} \quad \rightarrow \vec{g} = \text{indep. } m, r, \dots$$

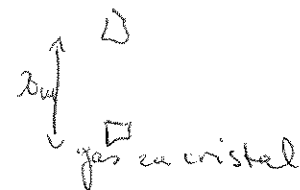


posición aparente estrellas
→ todo este que transporte E cae con = acelera en un campo gravitacional

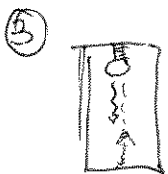
$$\lambda' = \lambda \left(1 + \frac{g\Delta z}{c^2}\right)$$

P. P. Libka 1959

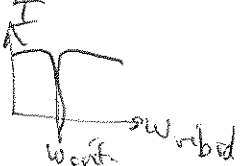
efecto Mossbauer



no absorbía fotón
compensar con
movimiento fuente
Doppler normal

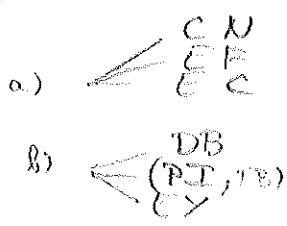


al caer en campo grav. gana E_{cin} , $\lambda > \lambda'$
al subir pierde λ ,
reloj de abajo se atrasa

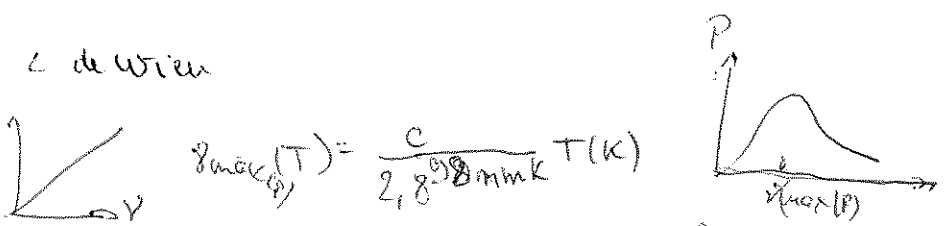


COMPORTAMIENTO CUÁNTICO DE LA RADIACIÓN Y LA MATERIA

naturaleza cuántica radiación a altas energías
 ondulatoria partículas en peg. escalas
 ondas → difracción, interferencia, transp. energía, intercambio continuo
 partículas → prop. rectilín, choques localizados x, t.
 • luz: cantidades discretas de E (cuantos) x partic.
 • e⁻ (part.) exhibe comporta^o ondulatorio



Radiación cuerpo negro:



Clásica, Rayleigh-Jeans $\rho = \frac{8\pi^2 \nu^2 \cdot kT}{c^3}$ → Catástrofe ultravioleta $\rho \propto \nu^3$
 ↳ fallaba ppo. equipartición energía (temodinámico)
 $\langle E \rangle = k_B \cdot T$

no distribución Planck $\rho(\nu, T) d\nu = \frac{8\pi h \nu^3}{c^3} \frac{1}{e^{h\nu/kT} - 1} d\nu$ Ray.
 ↳ energía cuantizada en unidades ΔE

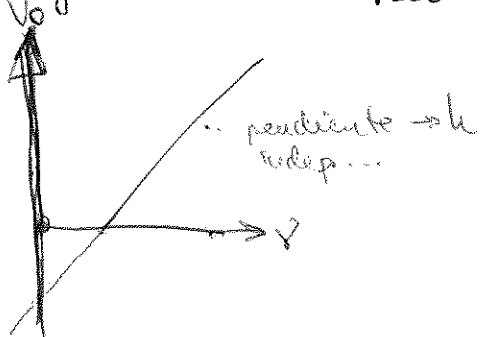
no Interpretación Einstein:
 $\rho(\nu, T) \propto \nu \cdot h\nu \cdot d\nu$
 ↳ fotones en uso ν ↳ energía 1 fotón

luz = conjunto de partículas con $E = h\nu$ cada una

No hay catástrofe UV

Efecto fotoeléctrico:

- ν_{min} indep. de I
- $V < 0$ no desaparece corriente hasta det $-V_0$
- efecto instantáneo (us)



↳ E no aumenta con intensidad
 ↳ ν_{min}
 ↳ retraso?
 $\Delta E \sim S \cdot \pi a_0^2 \cdot \Delta t$



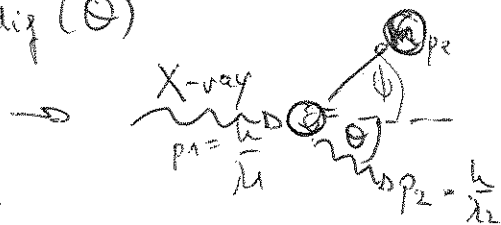
$h = 6,626 \cdot 10^{-34} \text{ Js}$
 cuantos indivisibles
 $> h^0$ x o no → Evidencia a Part.

un cuanto x e⁻
 ↳ $h\nu_{min} = W_{ext}$ indep. I
 ↳ $E_{max} = h\nu + W_{ext}$
 ↳ choques

FOTONES

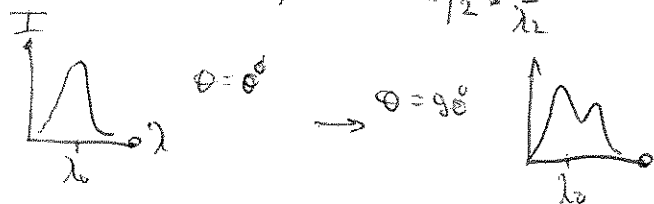
Efecto Compton

$\lambda_{dif}(\theta)$



e "libres" en metal keV \rightarrow eV
 indep. de metal

✓ aspecto corpuscular de la radiación



(considerados relativistas)

$$\Delta\lambda = \frac{h}{m_e c} (1 - \cos\theta)$$

0,02 Å ... difícil detectar

no cristal



$$2d \sin\theta = n\lambda \rightarrow \text{Ley de Bragg}$$

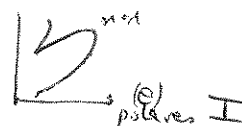
medida de las interatómicas

Onda de de Broglie

↳ Comportamiento ondulatorio partículas

$$\lambda = \frac{h}{p} \text{ no "onda de materia"}$$

$$E = \frac{p^2}{2m} \text{ (coef de dispersión) no relativ.}$$



→ ecuaciones → Ec. de Schrödinger

↳ soluciones complejas → no se mide amplitud directamente

Principio de incertidumbre de Heisenberg - Bohr

$$\Delta x \cdot \Delta p_x \geq \frac{\hbar}{2} \quad \Delta t \cdot \Delta E \geq \frac{\hbar}{2}$$

$\Delta x \rightarrow$ localizar \rightarrow pulso $\approx \Delta x$

→ pone en entredicho determinismo mecánica clásica
 ↳ no es posible x, p a la vez

Interpretación de Born

$|\psi(x,t)|^2 d^3x \equiv$ Probabilidad de encontrar una partícula en x, t .

→ medida afecta al estado sistema

$M \rightarrow \Lambda$ (medir 2 veces seguidas) $\rightarrow \vec{x}$ se localiza

Exp. de Young

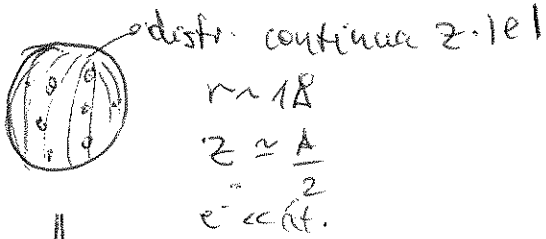
contar fotones \rightarrow desaparecen interferencias

→ se imparte p al e^-

reaparecen si menos p pero $\frac{\Delta x}{\lambda}$ ya no distinguir rendija

ESTRUCTURA ATÓMICA Y DE LA MATERIA

Thomson 1897 (rayos X, cf. fot)



Rutherford 1910 ($\Rightarrow \alpha$) \Rightarrow \emptyset de dispersión



$r_{\text{nuc}} \approx 1 \text{ fm} \approx 10^{-15} \text{ m}$

\Rightarrow inestable según física clásica

- \ominus aceleración, debían radiar (Maxwell)
- \ominus perder E hasta chocar con núcleo

* espectros emisión característicos - absorción

Balmer, Rydberg - Ritz ... (Lyman, Paschen, Brackett, Pfund $n_f < 5$)



Bohr 1913

Postulados:

- e^- en los átomos se mueven en órbitas circulares bajo la atracción de Coulomb por la atracción nuclear de acuerdo leyes física clásica
- Sólo órbitas $L = n\hbar$ son posibles
- e^- en dichas orb. no radian
- emisión/absorción a causa paso una a otra órbita

① $m_0 v^2 r = \frac{z e^2}{4\pi \epsilon_0}$

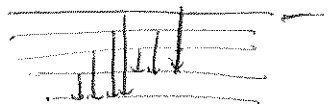
④ $E = \frac{1}{2} m_0 v^2 + V$

$E \approx -13,6 \text{ eV}$

② $r = \frac{n^2 h^2}{4\pi^2 m z e^2}$

$\frac{1}{n^2}$, $n = \text{cuántico principal}$

$\lambda = \frac{1}{2} \frac{m e^4 z^2}{(4\pi \epsilon_0)^2 h^2 (hc)} \left[\frac{1}{n_f^2} - \frac{1}{n_i^2} \right]$



Interpretación de Broglie:

$m v r = n \hbar$

$p = \frac{h}{\lambda}$



$\hookrightarrow 2\pi r = n\lambda \rightarrow \text{condic. onda estacionaria}$

Estructura materia

Bolus falla para $> 1e^-$

↳ Mecánica Cuántica

no Ec. Schrödinger → Soluciones corresponden a E niveles discretos

→ n^2 cuánticos

$$n = 1, 2, \dots$$

$$l = 0, \dots, n-1$$

• Espín del e^- → 2 grados de libertad $\begin{pmatrix} 0 \\ 1 \end{pmatrix} \begin{pmatrix} 1 \\ 0 \end{pmatrix} + c.c.$ $\begin{matrix} \Sigma \rightarrow s & \text{izq.} \\ \rightarrow p & \end{matrix}$

• Prp exclusión Pauli

$\begin{matrix} \rightarrow s & \text{dextra} \\ \rightarrow p & \end{matrix}$

2 e^- no pueden estar en el mismo estado cuántico $(s = \frac{z}{2})$

↳ $(2l+1) \times 2$ niveles degenerados

Tabla periódica

$$z=1 \quad n=1 \quad l=0 \quad 1$$

$$z=2 \quad n=1 \quad l=0 \quad 1b$$

$$z=3 \quad n=2 \quad l=0 \rightarrow 2$$

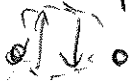
$$l=1 \rightarrow 6$$

capas completas + estables → Moléculas X_2 + estables

→ Física molecular determinada por estructura electrónica de los átomos.

Enlace covalente

e^- compartidos xa conseguir capas completas



Enlace iónico

intercambio e^- entre núcleos

→ iones cargados unidos x fuerza electrostática

Halógenos → -1

Alcalinos → +1

Fuerzas de Van der Waals

- fuerzas dipolares muy débiles

↳ dan lugar a agregados de $\left\{ \begin{matrix} \text{moléculas} \\ \text{líquidos} \\ \text{sólidos} \end{matrix} \right.$

• moléculas con gases nobles